

К ТЕОРИИ ЛЕНГМЮРОВСКОЙ ТУРБУЛЕНТНОСТИ  
НЕОДНОРОДНОЙ ПЛАЗМЫ

В. П. Силин, В. Т. Тихончук

УДК 533.9

Найдено спектральное и пространственное распределение энергии электронных ленгмюровских волн в одномерно неоднородной плазме в условиях одномерной турбулентности.

Теория турбулентности пространственно неоднородной плазмы привлекает к себе внимание из-за необходимости понимания возможных проявлений неравновесных свойств плазмы в целом ряде практически интересных условий. В нашем рассмотрении речь пойдет о неизотермической плазме ( $T_e \gg T_i$ ), когда главным нелинейным процессом перекачки по спектру энергии флуктуаций является распад электронной ленгмюровской волны на ленгмюровскую и ионнозвуковую ( $1 \rightarrow 1 + v$ ). Ось  $x$  ориентируем вдоль направления неоднородности, считая, что с ростом  $x$  плотность плазмы монотонно убывает. Ниже мы сосредоточим свое внимание на такой модели, в которой возбуждающая турбулентность плазменная неустойчивость генерирует ленгмюровские волны, распространяющиеся преимущественно вдоль той же оси  $x$ .

В рассматриваемых нами условиях ленгмюровскую турбулентность удобно описывать с помощью кинетического уравнения (см., например, /1,2/)

$$\frac{d}{dt} N^\sigma(\omega, x, t) = \frac{\partial}{\partial t} N^\sigma + \sigma v_1(\omega, x) \frac{\partial N^\sigma}{\partial x} = \text{St} [N]$$

для спектральной плотности плазмонов (числа квантов)  $N^\sigma(\omega, x, t)$ . Здесь  $\omega$  - частота электронной ленгмюровской волны, индекс  $\sigma = \pm 1$  позволяет различать волны, распространяющиеся соответ-

ственно в положительном ( $\sigma = +1$ ) и отрицательном ( $\sigma = -1$ ) направлениях оси  $x$ ,  $v_1 = |\partial k_x / \partial \omega|^{-1}$  - абсолютная величина групповой скорости волн, зависящая от координат благодаря соответствующей зависимости волнового вектора  $k_x(\omega, x) = [(3v_T^2)^{-1}(\omega^2 - \omega_{Le}^2(x))]^{1/2}$ , где  $\omega_{Le}(x)$  - электронная ленгмюровская частота, а  $v_T$  - тепловая скорость электронов.

Интересуясь стационарными спектрами турбулентности, ограничимся далее пределом слабых кулоновских столкновений, когда длина пробега ленгмюровских волн  $l_1$  велика по сравнению с масштабом  $L$  изменения плотности плазмы, а длина пробега звуковых волн  $l_s$  мала:  $l_s \ll L \ll l_1$ . Тогда, согласно /2/, распределение звуковых флуктуаций подстраивается под распределение ленгмюровских волн, для которых имеем:

$$\sigma \frac{\partial N^\sigma(\omega, x)}{\partial x} = \frac{\Gamma}{v_1(\omega, x)} N^\sigma(\omega, x) [N^{-\sigma}(\omega + \omega_s(\omega, x), x) - N^{-\sigma}(\omega - \omega_s(\omega, x), x)]. \quad (I)$$

Здесь  $\Gamma = \omega_{Li} \omega_{Le} / 24 n_e^2 T_e r_D$  - постоянная нелинейного взаимодействия,  $\omega_s(\omega, x) = 2k_x(\omega, x)v_s = [(4/3)(m_e/m_i)(\omega^2 - \omega_{Le}^2(x))]^{1/2}$  определяет изменение частоты ленгмюровской волны при ее распаде,  $\omega_{Li} = (m_e/m_i)^{1/2} \omega_{Le}$ ,  $r_D = v_T/\omega_{Le}$ .

В условиях, когда, например, спектральная ширина  $\Delta\omega$  области возбуждения плазменных волн благодаря первичной неустойчивости велика по сравнению с  $\omega_s$ , уравнение (I) может быть записано в дифференциальном приближении

$$\sigma \frac{\partial N^\sigma(\omega, x)}{\partial x} = \frac{4}{3} \frac{\omega_{Li}}{v_T} \Gamma N^\sigma(\omega, x) \frac{\partial N^{-\sigma}(\omega, x)}{\partial \omega}. \quad (2)$$

Из уравнения (2) следует, что возможно распределение ленгмюровских флуктуаций, не зависящее от  $\omega$  и  $x$ . В то же время такое постоянное распределение может быть различным для различных  $\sigma$ , а кроме того, и различным в различных областях  $(x, \omega)$ .

Обсуждению таких кусочно-постоянных распределений посвящено настоящее сообщение. При этом проблема реализации таких распределений сводится к удовлетворению граничных условий, которые связаны со следующими физическими явлениями. Во-первых, на линии поворота ленгмюровских волн  $k_x(\omega, x) = 0$  выполняется равенство чисел приходящих ( $\sigma = -1$ ) и уходящих ( $\sigma = +1$ ) квантов

$$N^-(\omega_{Le}(x), x) = N^+(\omega_{Le}(x), x). \quad (3)$$

Во-вторых, в области сравнительно разреженной плазмы  $k_x(\omega, x)$  достигает большого значения  $k_L \ll r_D^{-1}$ , когда, благодаря затуханию Ландау, ленгмюровская волна сильно поглощается. Из-за резкого роста затухания Ландау будем считать, что при  $k_x < k_L$  затухание отсутствует, а при  $k_x > k_L$  волн нет. Тогда уравнение  $\omega_a(x) = \omega_{Le}(x) + (3/2)k_L^2 v_{Te}^2 / \omega_{Le}^{-1}(x)$  определяет границу поглощения ленгмюровских волн. В этой связи естественно считать, что из области поглощения не приходят ленгмюровские волны, то есть на границе поглощения:

$$N^-(\omega_a(x), x) = 0. \quad (4)$$

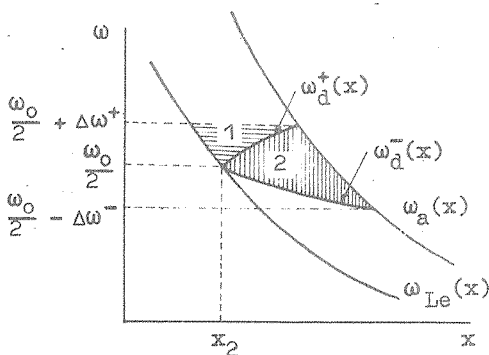
Для плазмы с распределением, слабо отличающимся от максвелловского,  $k_L r_D \approx 0,25 \div 0,3$ . Поэтому  $\omega_a(x) \approx 1,2\omega_{Le}(x)$ . Линия поворота волн и граница поглощения определяют полосу на плоскости  $(x, \omega)$ , внутри которой следует использовать решения уравнения (2) (см. рис. 1). Внутри этой же полосы локализована область первичной неустойчивости, возбуждающей ленгмюровские волны. Например, для параметрического распада ( $t \rightarrow -1 + s$ ) возбуждение ленгмюровских волн происходит на линии

$$\omega_d(x) = \omega_0 \left\{ 1 + \frac{\omega_{Li}^2}{3\omega_{Le}^2} - \frac{\omega_{Li}}{\omega_{Le}} \sqrt{\frac{2}{3} \frac{\omega_0 - \omega_{Le}(x)}{\omega_0} + \frac{\omega_{Li}^2}{9\omega_{Le}^2}} \right\} \approx \omega_0 \left[ 1 - \sqrt{\frac{m_e}{m_i} \frac{x - x_1}{L_1}} \right], \quad (5)$$

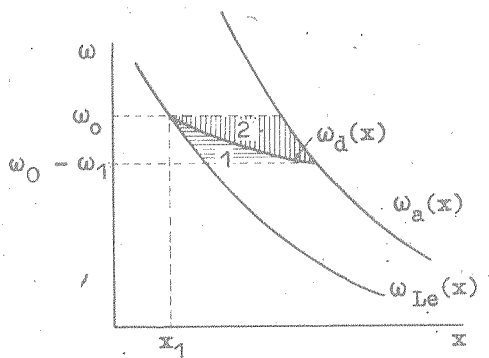
где  $\omega_0$  - частота накачки,  $L_1$  - масштаб неоднородности плотности в окрестности распадной точки  $x_1$  ( $\omega_{Le}(x_1) = \omega_0$ ). В случае двухплазменной параметрической неустойчивости возбуждение происходит на двух линиях:

$$\omega_d^{\pm}(x) = \frac{\omega_0}{2} \left( 1 \pm \sqrt{\frac{3}{8}} \frac{v_T}{c} \sqrt{1 - \frac{2\omega_{Le}(x)}{\omega_0} - \frac{9}{8} \frac{v_T^2}{c^2}} \right) \approx \frac{\omega_0}{2} \left( 1 \pm \frac{v_T}{c} \sqrt{\frac{x - x_2}{L_2}} \right), \quad (6)$$

исходящих из точки  $x_2$ . Здесь  $c$  - скорость света, а  $L_2$  - характерный масштаб неоднородности плотности вблизи точки  $x_2$  ( $\omega_{Le}(x_2) = \omega_0/2$ ). Распадные линии (6), (5) изображены на рис. 1 и 2 соответственно.



Р и с. 1. Область турбулентности для двухплазменной параметрической неустойчивости:  $\omega_{Le}(x)$  - линия поворота ленгмюровских волн,  $\omega_a(x)$  - граница черенковского поглощения,  $\omega_d^{\pm}(x)$  - линии параметрического возбуждения ленгмюровских волн, в области 1  $N^+ = N^- = Q_{21}$ ; в области 2  $N^+ = Q_{21}$ .



Р и с. 2. Область турбулентности для ионно-звуковой параметрической неустойчивости. Обозначения те же, что на рис. 1

На линиях  $\omega_d(x)$  следует задать граничные условия возбуждения ленгмювских волн внешними источниками:

$$N^{\pm}(\omega_d(x) + 0, x) - N^{\pm}(\omega_d(x) - 0, x) = \pm Q^{\pm}(x). \quad (7)$$

В простейшем случае конвективного возбуждения  $Q^{\pm}(x) = N_T \exp \alpha^{\pm}(x)$ , где  $\alpha^{\pm}(x)$  — коэффициенты усиления волн, а  $N_T$  — тепловой уровень флуктуаций.

Не зависящие от  $x$  и  $\omega$  решения (2) удовлетворяют граничным условиям (3) и (4). В то же время удовлетворение граничному условию (7) возможно при не зависящих от  $x$  значениях скачков  $Q^{\pm}$ . Последнее легко реализуется в случае двухплазменной неустойчивости (см. /3/), когда возбуждение ленгмювских волн происходит на линиях  $\omega_d^{\pm}$  (6). При этом на линии  $\omega_d^+(x)$   $Q^+ = 0$  и  $Q^- = Q_{21} = \text{const}$ , а на линии  $\omega_d^-(x)$ ,  $Q^- = 0$ ,  $Q^+ = Q_{21}$ . Тогда, обозначая  $(\omega_0/2) \pm \Delta\omega^{\pm}$  частоты при пересечении линий  $\omega_a(x)$  и  $\omega_d^{\pm}(x)$ , легко видеть, что благодаря раскачке на линии  $\omega_d^+(x)$  возникает  $N^- = Q_{21}$ , а за счет отражения от точки поворота и

$N^+ = Q_{21}$ , так что

$N^-(\omega, x) = Q_{21}$  при  $(\omega_0/2) + \Delta\omega^+ > \omega > \omega_{Le}(x)$ ,  $\omega_d^+(x)$ ,  
а благодаря условию отражения (3) имеем

$N^+(\omega, x) = Q_{21}$  при  $\omega_0/2 + \Delta\omega^+ > \omega > \omega_0/2$ .

Кроме того, при  $\omega_0/2 > \omega > (\omega_0/2) - \Delta\omega^-$  возбуждаются волны  $N^+$  на линии  $\omega_d^-(x)$ , так что

$N^+(\omega, x) = Q_{21}$  при  $\omega_0/2 > \omega > \omega_d^-(x)$ .

На рис. 1 вертикальной штриховкой обозначена область наличия плазмонов  $N^+$ , а горизонтальной — область наличия плазмонов  $N^+$  и  $N^-$ , бегущих и вправо и влево. Важным свойством полученного распределения является его анизотропия, обусловленная пространственной неоднородностью плазмы.

Другой пример постоянного скачка (7) может реализоваться в случае параметрической распадной неустойчивости  $t \rightarrow -1 + \nu$  вблизи критической плотности плазмы. Однако, в отличие от двухплазмонного распада, постоянство скачка возможно лишь при достаточно большом превышении порога, когда нелинейные процессы, проявляющиеся в полосе усиления, приводят к тому, что напряженность поля вторичных волн оказывается равной напряженности поля накачки /4/. Другое отличие от двухплазмонного распада заключается в том, что исходящие из линии генерации вторичные волны распространяются в обе стороны. В результате в области, заштрихованной на рис. 2 вертикальной штриховкой  $\omega_0$ ,  $\omega_2(x) > \omega > \omega_d^+(x)$ , возникает распределение  $N^+(\omega, x) = 2Q_1$ ,  $N^-(\omega, x) = 0$ , а в области  $\omega_d^-(x) > \omega > \omega_{Le}(x)$ ,  $\omega_0 - \omega_1$ , заштрихованной на рис. 2 горизонтальной штриховкой,  $N^+(\omega, x) = N^-(\omega, x) = Q_1$ , где  $\omega_0 - \omega_1$  определяется пересечением кривых  $\omega_2(x)$  и  $\omega_d^-(x)$  (5). Подобно двухплазмонному распаду возникло пространственно анизотропное распределение. В то же время необходимо подчеркнуть, что хотя мы и использовали не зависящие от  $x$  и  $\omega$  решения уравнения (2), результирующие распределения, иллюстрируемые рис. 1 и 2, являются в целом пространственно неоднородными, что обусловлено зависимостью от координаты  $x$  линии  $\omega_d(x)$  (в случае рис. 2) и линий  $\omega_d^\pm(x)$  (в случае рис. 1) генерации ленгмюровских волн.

Заметим в заключение, что распределение, изображенное на рис. 2, может быть источником плазменной турбулентности при  $\omega < \omega_0 - \omega_1$ .

Поступила в редакцию  
4 ноября 1980 г..

#### Л и т е р а т у р а

1. В. В. Пустовалов, В. П. Силин, Труды ФИАН, 61, 42 (1972).
2. В. П. Силин, В. Т. Тихончук, ЖТФ, 50, 336 (1980).
3. В. П. Силин, Краткие сообщения по физике ФИАН № 10, 35 (1979).
4. В. П. Силин, В. Т. Тихончук, Phys. Lett., 78A, 246 (1980).